

# Декодирование $Q$ -ных плетеных сверточных МПП-кодов

В. В. Зяблов

*Институт проблем передачи информации, Российская академия наук, Москва, Россия*  
*zyablov@iitp.ru*

К. А. Кондрашов

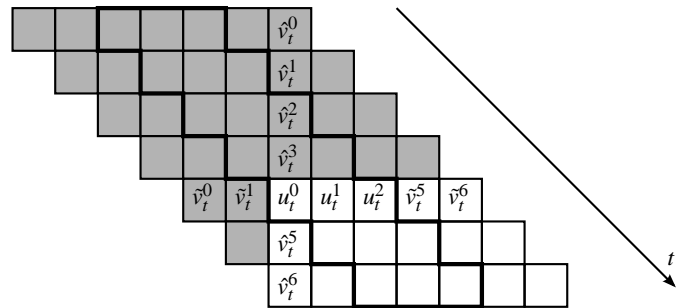
*Институт проблем передачи информации, Российская академия наук, Москва, Россия*  
*k\_kondrashov@iitp.ru*

## Аннотация

*В настоящей работе рассматриваются два  $q$ -ных плетеных сверточных кода с малой плотностью проверок (П-СМПП) с двумя и четырьмя кодами-компонентами Рида-Соломона. Исследуются корректирующие способности при жестком декодировании мажоритарным алгоритмом и алгоритмом с введением стираний.*

## 1. Введение

Сверточные МПП-коды [1], обладая хорошей практической возможностью применения, постепенно начинают привлекать все больше и больше внимания. В данной работе исследуются возможности декодирования  $q$ -ных плетеных сверточных МПП  $(j, n_0)$ -кодов с  $(n_0, k_0)$ -кодами-компонентами Рида-Соломона, где  $j$  — это количество кодов-компонентов, входящих в плетеный код, а  $n_0, k_0$  — их параметры. В [2] был предложен двоичный П-СМПП  $(2, 7)$ -код с кодами-компонентами Хэмминга. Представленный код легко обобщается на случай недвоичного алфавита. При переходе к алфавиту большей размерности особый интерес представляет использование в качестве кодов-компонентов простых кодов с одной проверкой, что позволяет существенно упростить декодирование. При этом для получения хорошей корректирующей способности, очевидно, необходимо увеличить число кодов-компонентов. В [3] был предложен  $q$ -ный П-СМПП  $(4, 8)$ -код, описана процедура кодирования и исследованы его дистанционные характеристики. Данная статья продолжает исследование корректирующих способностей П-СМПП  $(2, 7)$ - и  $(4, 8)$ -кодов.



**Рис. 1. Представление П-СМПП  $(2, 7)$ -кода в виде двумерного массива. Серым выделены закодированные символы.**

## 2. П-СМПП $(2, 7)$ -код

Плетеный сверточный МПП-код, построенный путем пересечения двух блоковых кодов-компонентов — горизонтального и вертикального — был впервые предложен в [2]. Кодовый массив состоит из трех полос. (Рис. 1). При кодировании символы информационной последовательности  $\mathbf{u} = [u_0 \ u_1 \ \dots \ u_t \ \dots]$  помещаются в центральную полосу. Проверочные символы кодовых слов вертикального кода-компонента помещаются в нижнюю полосу. Вместе с информационными символами они образуют информационную часть кодов горизонтального кода-компонента, проверочная часть которых помещается в верхнюю полосу и, в свою очередь, формирует информационную часть слов вертикального кода-компонента. Рассмотрим П-СМПП  $(2, 7)$ -код с кодами-компонентами  $(7, 5)$ -кодами Рида-Соломона. В произвольный момент времени  $t$  информационный блок  $\mathbf{u}_t = [u_t^0 \ u_t^1 \ u_t^2]$  помещается в центральную полосу. Затем горизонтальный код-компонент кодирует блок  $[\tilde{v}_t^0 \ \tilde{v}_t^1 \ u_t^0 \ u_t^1 \ u_t^2]$ , выдавая  $[\tilde{v}_t^0 \ \tilde{v}_t^1 \ u_t^0 \ u_t^1 \ u_t^2 \ \tilde{v}_t^5 \ \tilde{v}_t^6]$ . Вертикальный код-

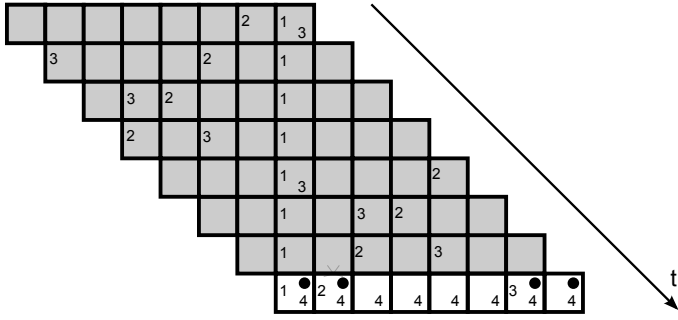


Рис. 2. Представление П–СМПП (4,8)–кода в виде двумерного массива. Индексами обозначена принадлежность символов к одному из четырех кодов–компонентов. Серым выделены закодированные символы. Круглым маркером отмечены позиции проверочных символов.

компонент кодирует блок  $[\hat{v}_t^0 \hat{v}_t^1 \hat{v}_t^2 \hat{v}_t^3 u_t^0]$ , выдавая  $[\hat{v}_t^0 \hat{v}_t^1 \hat{v}_t^2 \hat{v}_t^3 u_t^0 \hat{v}_t^5 \hat{v}_t^6]$ . Формируется кодовый блок  $v_t = [u_t^0 u_t^1 u_t^2 \hat{v}_t^5 \hat{v}_t^6 \hat{v}_t^5 \hat{v}_t^6]$ . Результирующая скорость кода  $R = \frac{3}{7}$ .

### 3. П–СМПП (4,8)–код

В П–СМПП (2,7)–коде из [2] используются сильные коды–компоненты с хорошей корректирующей способностью, но их количество ограничено двумя. Увеличение числа кодов–компонентов ценой их упрощения было предложено в [3]. Представленный в [3] П–СМПП (4,8)–код состоит из четырех (8,7)–кодов Рида–Соломона с одной  $q$ -ной проверкой на четность (Рис. 2). Кодирование осуществляется схожим образом. В произвольный момент времени  $t$  первым шагом кодируются вертикальный и горизонтальные коды–компоненты. Затем информационный блок  $u_t$  и полученные проверочные символы кодируются горизонтальным кодом–компонентом. Скорость результирующего кода  $R = \frac{1}{2}$ .

### 4. Кодирование

Представленные коды принадлежат классу сверточных МПП–кодов и, наряду со схематичным описанием, могут быть заданы полубесконечной проверочной матрицей сверточного МПП–кода:

$$H^T = \begin{pmatrix} H_0^T(0) & \dots & H_{m_s}^T(m_s) & & \\ & \ddots & & \ddots & \\ & & H_0^T(t) & \dots & H_{m_s}^T(t+m_s) \\ & & & \ddots & \\ & & & & \ddots \end{pmatrix}, \quad (1)$$

где подматрицы  $H_i^T(t)$  определяются

проверочными матрицами кодов–компонентов и имеют размерность  $n_0 \times j(n_0 - k_0)$ , а  $m_s$  — размер памяти кода. В любой момент времени  $t$  кодовая последовательность удовлетворяет условиям:

$$v_t H_0^T(t) + v_{t-1} H_1^T(t) + \dots + v_{t-m_s} H_{m_s}^T(t) = 0, t \in \mathbb{Z} \quad (2)$$

и

$$v_{[0,t-1]} H_{[0,t+m_s-1]}^T = [0_{[0,t-1]} | s_t], \quad (3)$$

где  $s_t = [s_t^0 s_t^1 \dots s_t^{m_s-1}]$  — вектор частичных синдромов, обновляющийся по рекуррентному закону:

$$s_t^i = \begin{cases} s_{t-1}^{i+1} + v_t H_{i+1}^T(t+i+1), & i = 0, \dots, m_s - 2 \\ v_t H_{i+1}^T(t+i+1), & i = m_s - 1. \end{cases} \quad (4)$$

Алгоритм кодирования следует из (3). Кодовые блоки получаются в виде решения системы линейных уравнений

$$v_{t+1} H_0^T(t+1) = -s_t^0. \quad (5)$$

### 5. Дистанционные свойства кодов

Одной из важнейших характеристик кода, определяющих его корректирующие способности, является минимальное Хэммингово расстояние  $d_{min}$  между любыми двумя кодовыми словами. Для сверточных кодов, кодовые слова которых невозможно сравнивать на разных длинах, вводится аналог минимального кодового расстояния — свободное кодовое расстояние. Это минимальное расстояние между любыми кодовыми последовательностями.

$$d_{free} = \min_{v \neq v'} \{d_H(v, v')\}. \quad (6)$$

Для определения  $d_{free}$  удобно рассматривать активное расстояние кода  $d_j$  — минимальный вес кодовой последовательности, приводящей кодер в нулевое состояние после  $j$  информационных блоков.

$$d_j = \min \{ \omega_H(v_{[1,j]}) : v_{[1,j]} H_{[1,j+m_s-1]}^T = 0 \}. \quad (7)$$

Свободное и активные расстояния связаны отношением  $d_{free} = \min_j \{d_j\}$ . Активные расстояния для различных  $j$  мы будем искать среди решений системы линейных уравнений

$$x H_{[1,j+m_s-1]}^T = 0. \quad (8)$$

Найденные значения приведены на (Рис. 3.)

### 6. Декодирование

В данной работе мы рассматриваем два алгоритма жесткого декодирования: итеративный

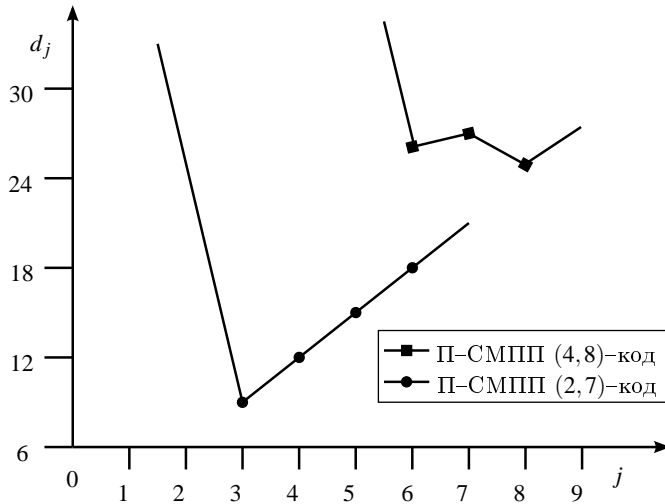


Рис. 3. Активные расстояния

мажоритарный алгоритм  $\mathcal{A}_1$  и расширенный алгоритм  $\mathcal{A}_2$  с введением стираний. Так как кодовое расстояние кодов-компонентов П-СМПП (4,8)-кода  $d = 2$ , они способны лишь обнаружить одну ошибку, но не исправить ее. Поэтому оба алгоритма  $\mathcal{A}_1$  и  $\mathcal{A}_2$  будут слегка различаться для П-СМПП (2,7)- и (4,8)-кодов. Мы опишем алгоритмы декодирования для П-СМПП (2,7)-кода, а затем уточним различия.

Рассмотрим мажоритарный алгоритм  $\mathcal{A}_1$ . Пусть на вход декодера на  $i$ -й итерации подается слово  $\mathbf{r}^{(i)}$ , где  $\mathbf{r}^{(1)}$  – принятое из канала передачи искаженное кодовое слово. Тогда каждая итерация декодирования состоит из следующих шагов:

А л г о р и т м  $\mathcal{A}_1$ :

1. Для каждого кода-компонента  $k$  с помощью  $\mathcal{D}^{(k)}$ , где  $\mathcal{D}^{(k)}$  – декодер кода-компонента  $k$ , декодируются все соответствующие ему слова из  $\mathbf{r}^{(i)}$ . Результаты запоминаются в  $\mathbf{r}_k^{(i)}$ .
2. Создается слово следующей итерации  $\mathbf{r}^{(i+1)}$ , символы  $r_j^{(i+1)}$  которого определяются голосованием – большинством из  $r_{k,j}^{(i+1)}$ . Если выбор неоднозначен, то берется значение из входного слова  $r_j^{(i)}$ .
3. Вычисляется синдром  $\mathbf{r}^{(i+1)}$ . В зависимости от синдрома и номера итерации возможны четыре исхода: переход к следующей итерации, отказ от декодирования, ошибка декодирования, успех декодирования. Если синдром ненулевой и предел итераций не достигнут, осуществляется переход к следующей итерации. Отказ от декодирования происходит при ненулевом синдроме, если исчерпаны итерации или результирующее слово

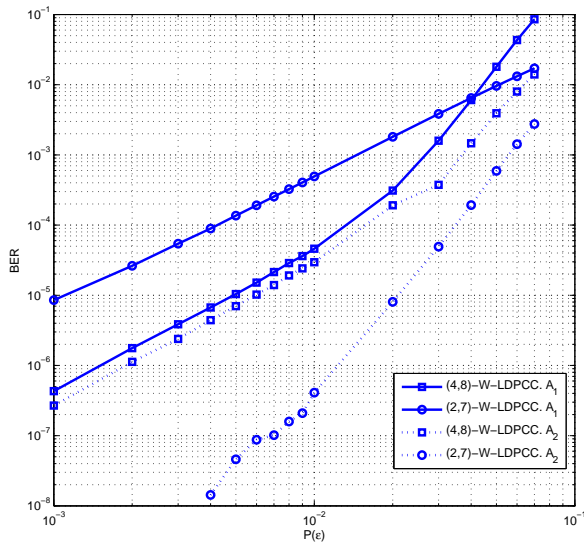
$\mathbf{r}^{(i+1)}$  не отличается от входного  $\mathbf{r}^{(i)}$ . Нулевой синдром завершает декодирование успехом или ошибкой, в зависимости от того, совпадает ли результирующее кодовое слово  $\mathbf{r}^{(i+1)}$  с переданным.

Алгоритм  $\mathcal{A}_2$  представляет собой модифицированный вариант алгоритма  $\mathcal{A}_1$ . Здесь, если после голосования выбор символа неоднозначен, символ заменяется новой буквой из расширенного алфавита – стиранием. Перед переходом к следующей итерации выполняется декодирование с исправлением стираний до полного их устранения.

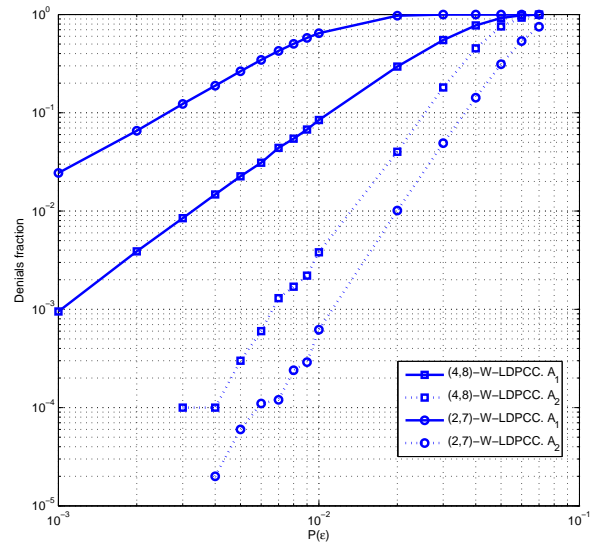
А л г о р и т м  $\mathcal{A}_2$ :

1. Для каждого кода-компонента  $k$  с помощью  $\mathcal{D}^{(k)}$ , где  $\mathcal{D}^{(k)}$  – декодер кода-компонента  $k$ , декодируются все соответствующие ему слова из  $\mathbf{r}^{(i)}$ . Результаты запоминаются в  $\mathbf{r}_k^{(i)}$ .
2. Голосованием по  $r_{k,j}^{(i+1)}$  определяются символы  $r_j^{(i+1)}$  слова  $\mathbf{r}^{(i+1)}$  следующей итерации. Если для некоторого символа выбор неоднозначен, его значение заменяется стиранием.
3. При наличии стираний результирующее слово  $\mathbf{r}^{(i+1)}$  декодируется покомпонентно с помощью декодеров кодов-компонентов  $\mathcal{E}^{(k)}$ , исправляющих стирания. Решение об исправлении для каждого стертых символа принимается по результатам голосования среди кодов-компонентов. В голосовании участвуют коды-компоненты,  $\mathcal{E}^{(k)}$  которых сумели исправить данный символ. Декодирование стираний повторяется до полного их устранения или превышения порога числа итераций. Если после декодирования количество стираний не уменьшилось, декодирование завершается отказом.
4. Вычисляется синдром  $\mathbf{r}^{(i+1)}$ . В зависимости от синдрома и номера итерации происходит переход к следующей итерации или завершение декодирования. Декодирование может завершиться отказом, ошибкой или успехом. Отказ от декодирования происходит при ненулевом синдроме, если исчерпаны итерации или результирующее слово  $\mathbf{r}^{(i+1)}$  не отличается от результата предыдущей итерации  $\mathbf{r}^{(i)}$ . При нулевом синдроме декодирование завершается успехом или ошибкой, в зависимости от того, совпадает ли результирующее кодовое слово  $\mathbf{r}^{(i+1)}$  с переданным.

В случае П-СМПП (4,8)-кода в обоих алгоритмах отпадает первый шаг. Так как коды-компоненты с  $d = 2$  могут лишь обнаружить одну



(a) Вероятность ошибки на бит



(b) Доля отказов декодирования

Рис. 4. Результаты моделирования

ошибку, то процедура голосования преобразуется следующим образом. Для каждого символа  $r_j^{(i+1)}$  вычисляются синдромы соответствующих кодам-компонентам слов, в которые входит данный символ. Решением от каждого кода-компонента будет значение, обращающее соответствующий синдром в ноль. Результирующее значение символа  $r_j^{(i+1)}$  выбирается по большинству, а в случае неоднозначного выбора сохраняет значение  $r_j^{(i)}$  или заменяется стиранием, в зависимости от алгоритма. Результаты моделирования приведены на Рис. 4.

Как видно из Рис. 4, при декодировании алгоритмом  $\mathcal{A}_1$  использование большего числа более простых кодов-компонентов дает лучшие результаты. Однако, при декодировании по алгоритму  $\mathcal{A}_2$  П-СМПП (4,8)-код показывает, несмотря на большее свободное расстояние  $d_{free}$ , результаты хуже, чем П-СМПП (2,7)-код. Такое поведение может быть вызвано неоптимальным выбором критериев введения и исправления стираний. Тем не менее, при декодировании по алгоритму  $\mathcal{A}_2$  оба кода дают меньшую вероятность ошибки, чем при алгоритме  $\mathcal{A}_1$ .

## Список литературы

- [1] A. J. Felström and K. Sh. Zigangirov, Periodic time-varying convolutional codes with low-density parity-check matrices, *IEEE Trans Inf. Theory*, vol. 45, no. 45, 2181–2190, 1999
- [2] A. J. Felström, M. Lentmaier, D. V. Truhachev and K. Sh. Zigangirov, Braided block codes, *IEEE Trans Inf. Theory submission*, 2006
- [3] V. V. Zyablov and K. A. Kondrashov, Two LDPC-constructions *Information Technologies and Systems Workshop, Becasovo, Russia, 2009* 156–159.